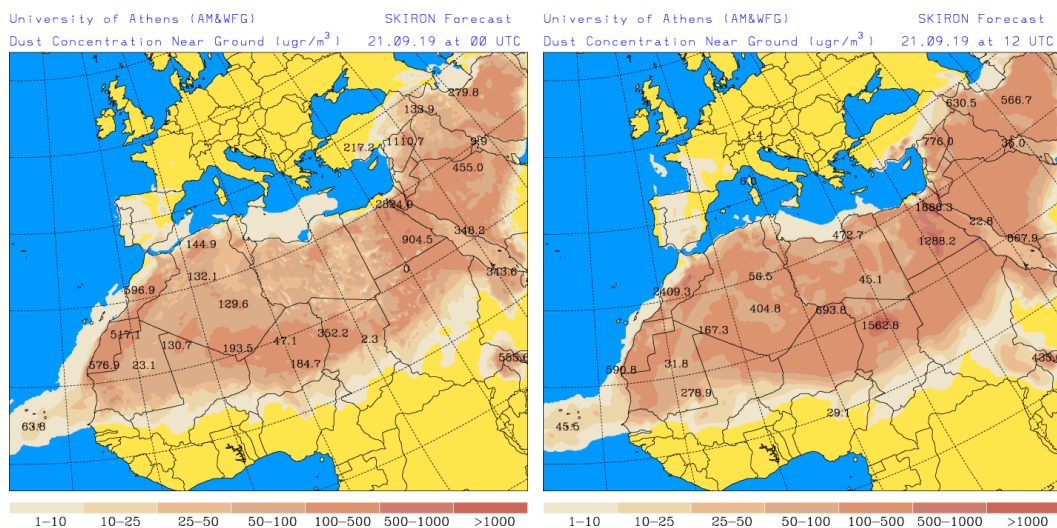
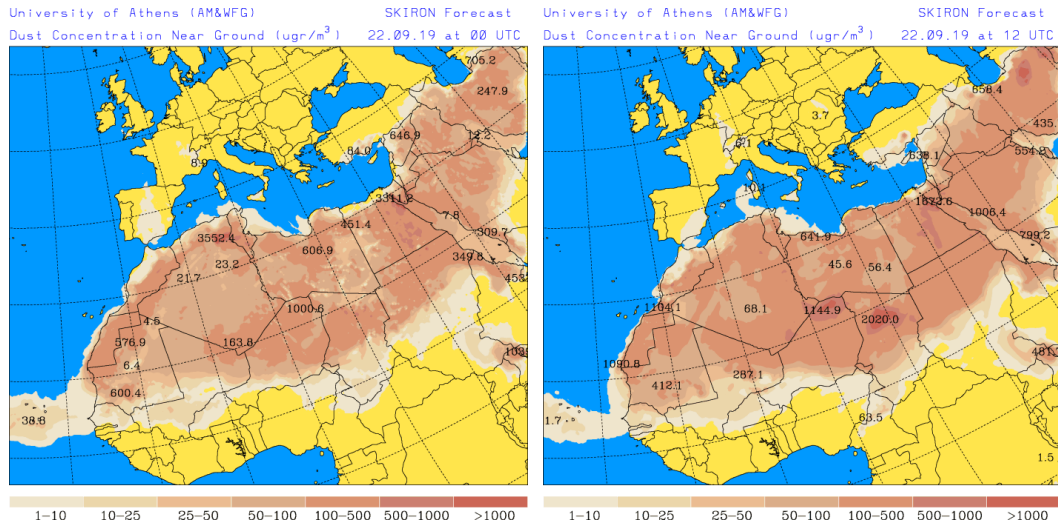


Predicción de intrusión de masas de aire africano sobre España para los días 21 y 22 de septiembre de 2019

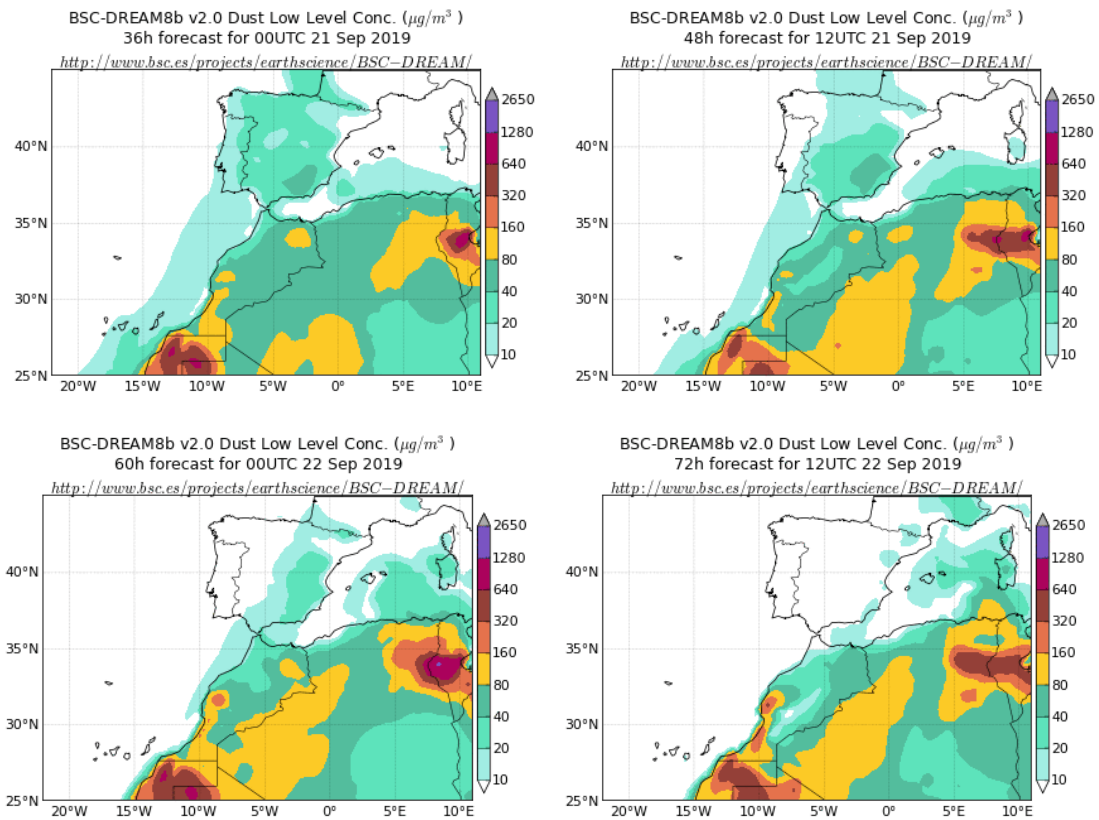
Se prevé que a lo largo de los próximos dos días remitan gradualmente los efectos del evento de intrusión de polvo africano sobre zonas de la Península Ibérica y de los archipiélagos balear y canario. La previsible advección de masas de aire de origen atlántico de componente NO generará una progresiva reducción de los niveles de polvo mineral en superficie. Durante el día 21 de septiembre aún se podrían registrar concentraciones de polvo mineral en el rango 40-80 $\mu\text{g}/\text{m}^3$ en zonas del SE peninsular, en el rango 20-40 $\mu\text{g}/\text{m}^3$ en zonas del centro, Levante, y del SO peninsular y centro y de las islas Baleares. En zonas del tercio N y de las islas Canarias los niveles de polvo no superarían previsiblemente los 10 $\mu\text{g}/\text{m}^3$. Durante el día 22 de septiembre se prevé que todavía se puedan alcanzar valores de concentración de polvo mineral en el rango 20-40 $\mu\text{g}/\text{m}^3$ en zonas del SE y Levante peninsular y de las islas Baleares, si bien la tendencia será previsiblemente a que se vayan reduciendo con el transcurso de las horas. A partir de las 12 UTC del día 21 de septiembre se podrían producir eventos de depósito seco en zonas del N, centro y SE de la Península Ibérica. Sin embargo serán los episodios de depósito húmedo de polvo los que tengan mayor relevancia a lo largo de todo el día 21, pudiendo producirse en amplias zonas del NO, N, centro, Levante, SO y SE de la Península y de las islas Baleares. Durante la primera mitad del día 22 de septiembre aún se prevé que se puedan registrar eventos de este tipo en zonas de la mitad oriental de la Península y del archipiélago balear.



Concentración de polvo ($\mu\text{g}/\text{m}^3$) predicha por el modelo SKIRON para el día 21 de septiembre de 2019 a las 00 UTC (izquierda) y a las 12 UTC (derecha). © Universidad de Atenas.

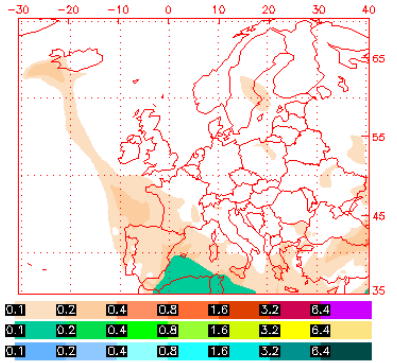


Concentración de polvo ($\mu\text{g}/\text{m}^3$) predicha por el modelo SKIRON para el día 22 de septiembre de 2019 a las 00 UTC (izquierda) y a las 12 UTC (derecha). © Universidad de Atenas.

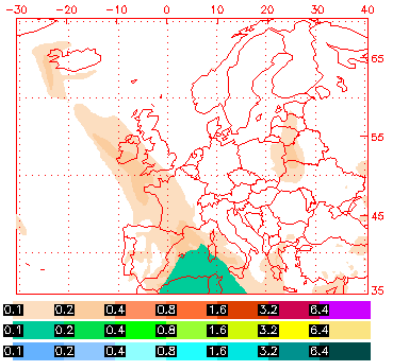


Concentración de polvo ($\mu\text{g}/\text{m}^3$) predicha por el modelo BSC-DREAM8b v2.0 para los días 21 (superior) y 22 (inferior) de septiembre de 2019 a las 00 UTC (izquierda) y a las 12 UTC (derecha). © Barcelona Dust Forecast Center

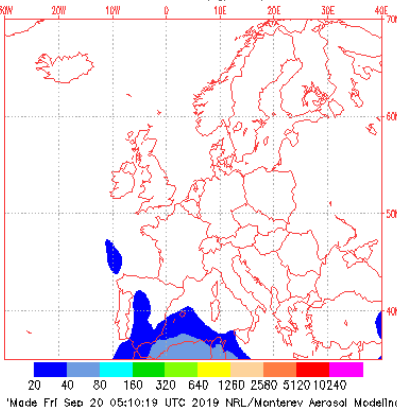
NAAPS Total Optical Depth for 00:00Z 21 Sep 2019
Sulfate: Orange/Red, Dust: Green/Yellow, Smoke: Blue



NAAPS Total Optical Depth for 12:00Z 21 Sep 2019
Sulfate: Orange/Red, Dust: Green/Yellow, Smoke: Blue

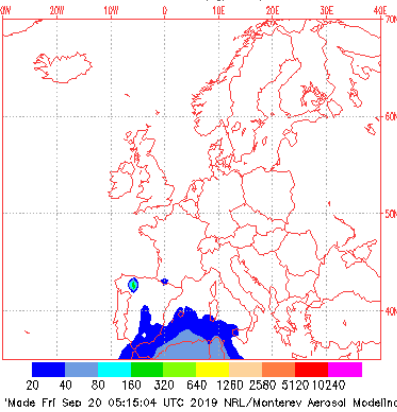


Dust Surface Concentration ($\mu\text{g}/\text{m}^3$) for 2019092100



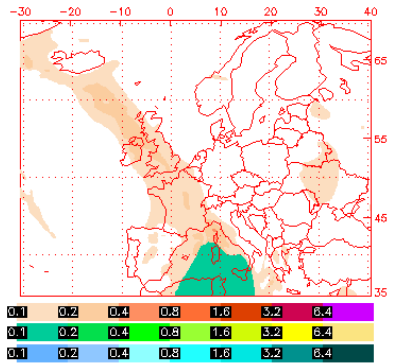
'Made Fri Sep 20 05:10:19 UTC 2019 NRL/Monterev Aerosol ModelIno'

Dust Surface Concentration ($\mu\text{g}/\text{m}^3$) for 2019092112

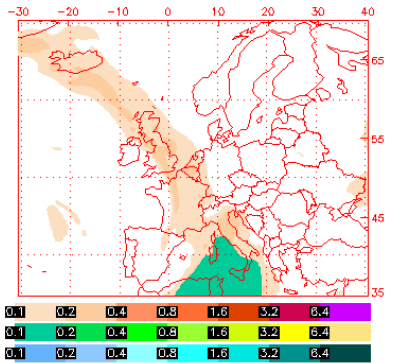


'Made Fri Sep 20 05:16:04 UTC 2019 NRL/Monterev Aerosol ModelIno'

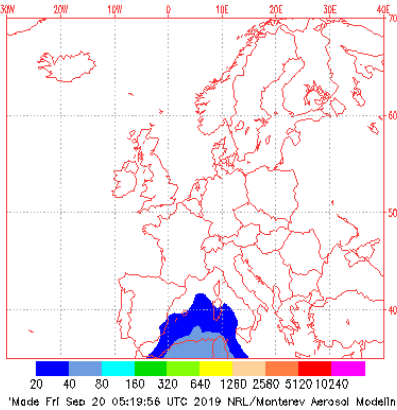
NAAPS Total Optical Depth for 00:00Z 22 Sep 2019
Sulfate: Orange/Red, Dust: Green/Yellow, Smoke: Blue



NAAPS Total Optical Depth for 12:00Z 22 Sep 2019
Sulfate: Orange/Red, Dust: Green/Yellow, Smoke: Blue

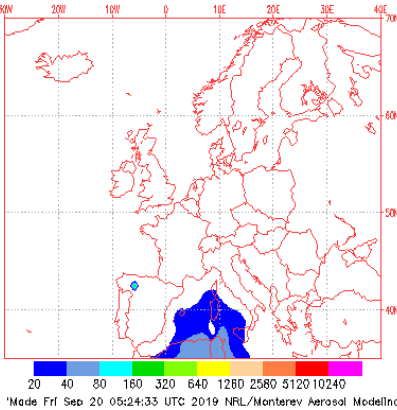


Dust Surface Concentration ($\mu\text{g}/\text{m}^3$) for 2019092200



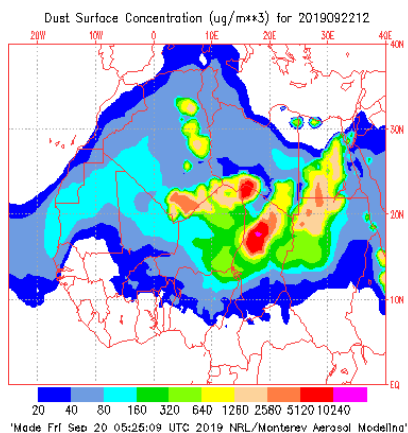
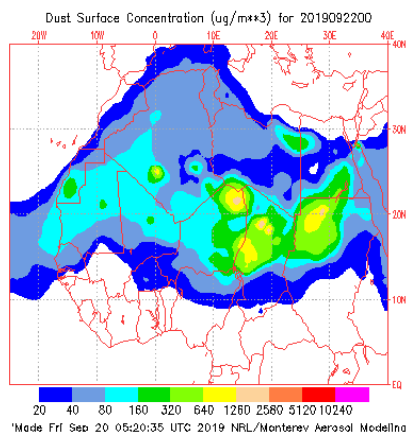
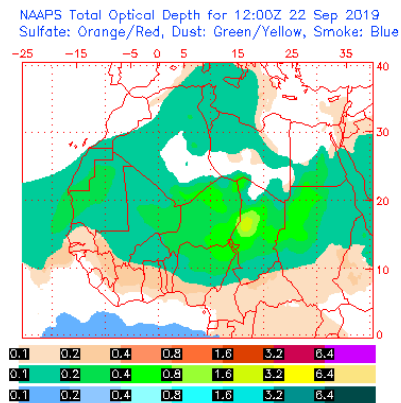
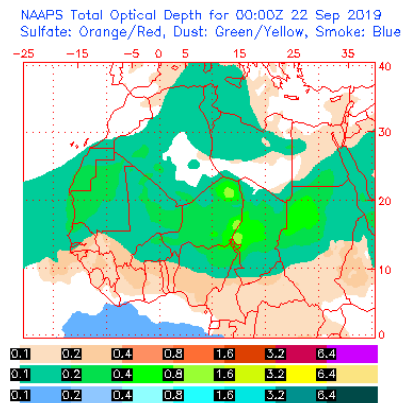
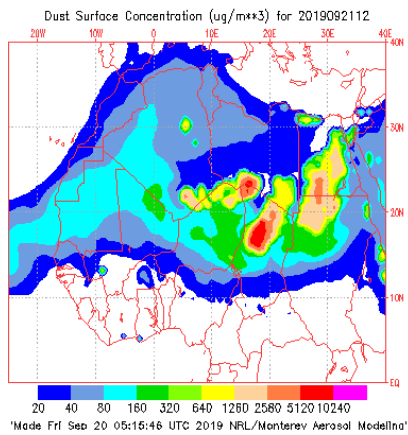
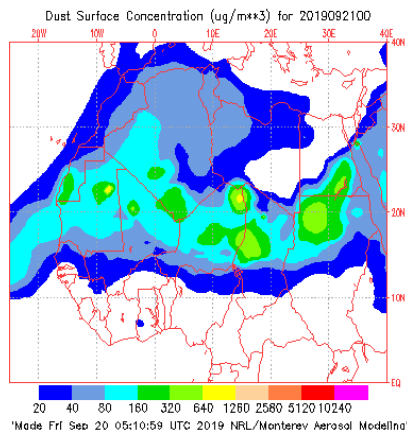
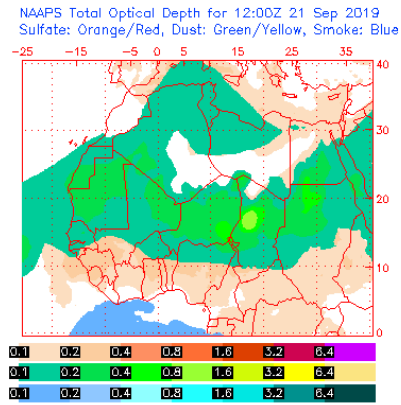
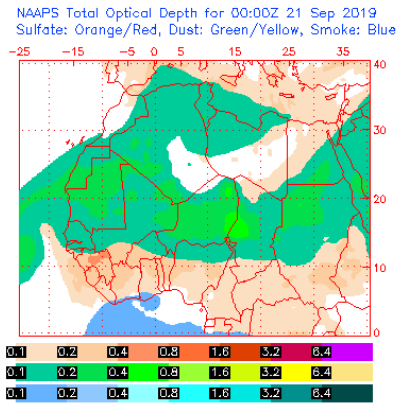
'Made Fri Sep 20 05:19:56 UTC 2019 NRL/Monterev Aerosol ModelIno'

Dust Surface Concentration ($\mu\text{g}/\text{m}^3$) for 2019092212

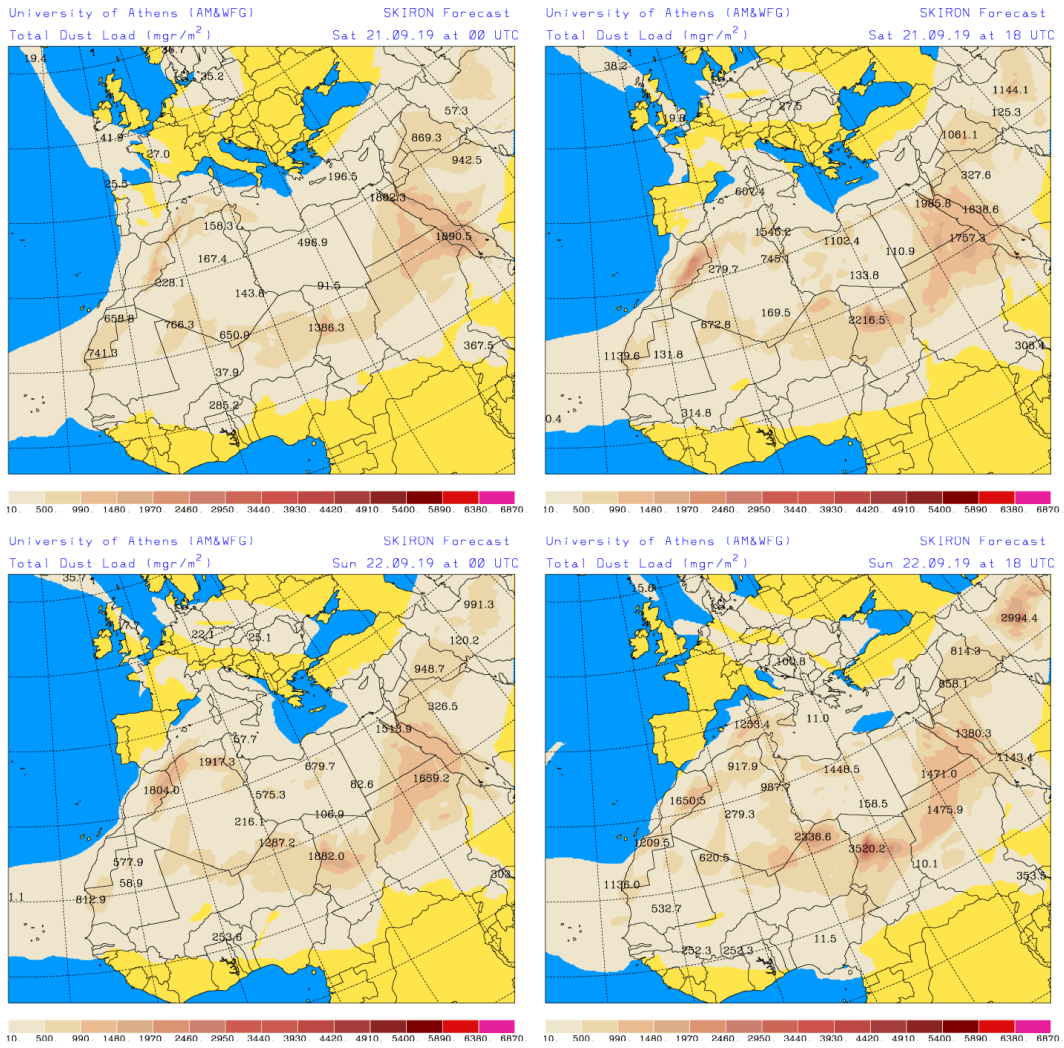


'Made Fri Sep 20 05:24:33 UTC 2019 NRL/Monterev Aerosol ModelIno'

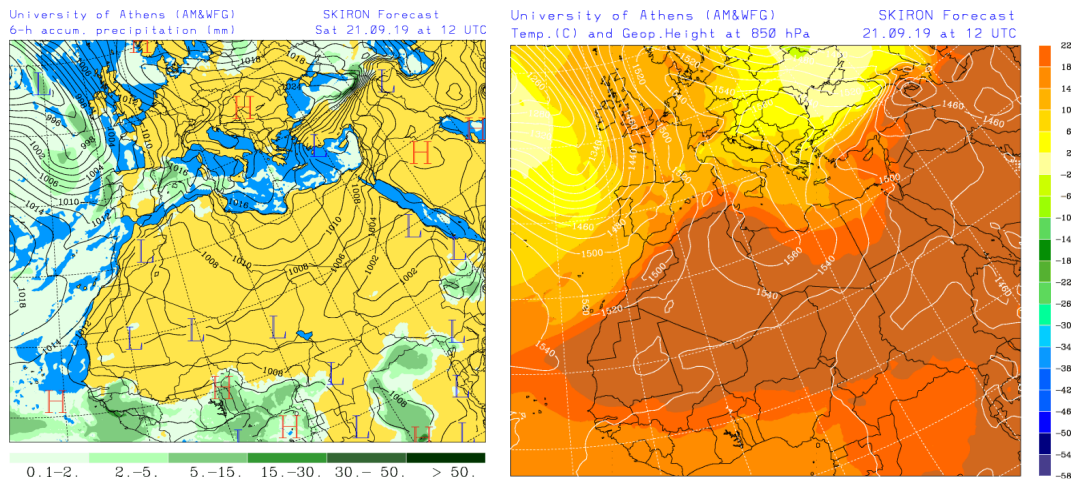
Espesor óptico de aerosoles a 550 nm (arriba) y concentración de polvo a nivel de superficie (abajo) previstos por el modelo NAAPS para los días 21 y 22 de septiembre de 2019 a las 00 UTC (izquierda) y a las 12 UTC (derecha). ©Naval Research Laboratory (NRL), Monterey, CA.



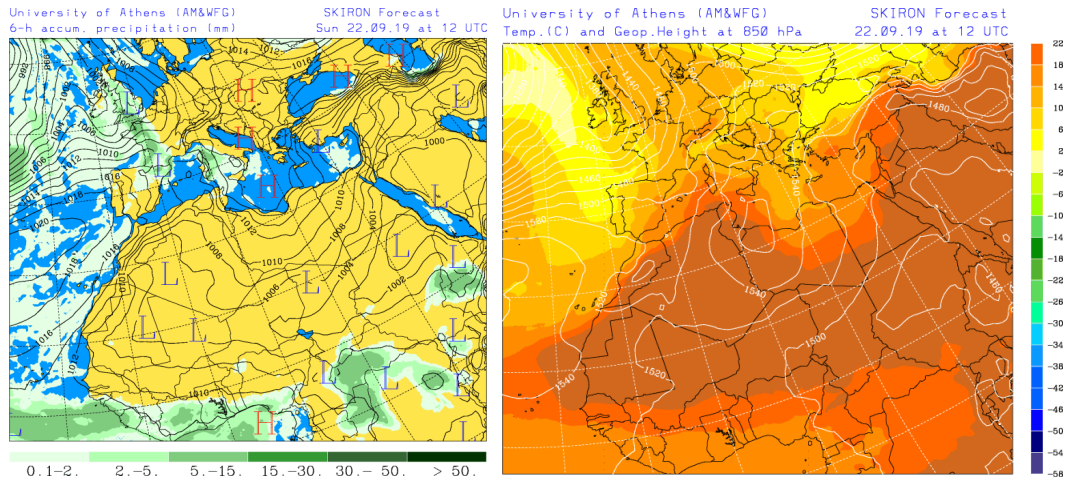
Espesor óptico de aerosoles a 550 nm (arriba) y concentración de polvo a nivel de superficie (abajo) previstos por el modelo NAAPS para los días 21 y 22 de septiembre de 2019 a las 00 UTC (izquierda) y a las 12 UTC (derecha) en las islas Canarias. ©Naval Research Laboratory (NRL), Monterey, CA.



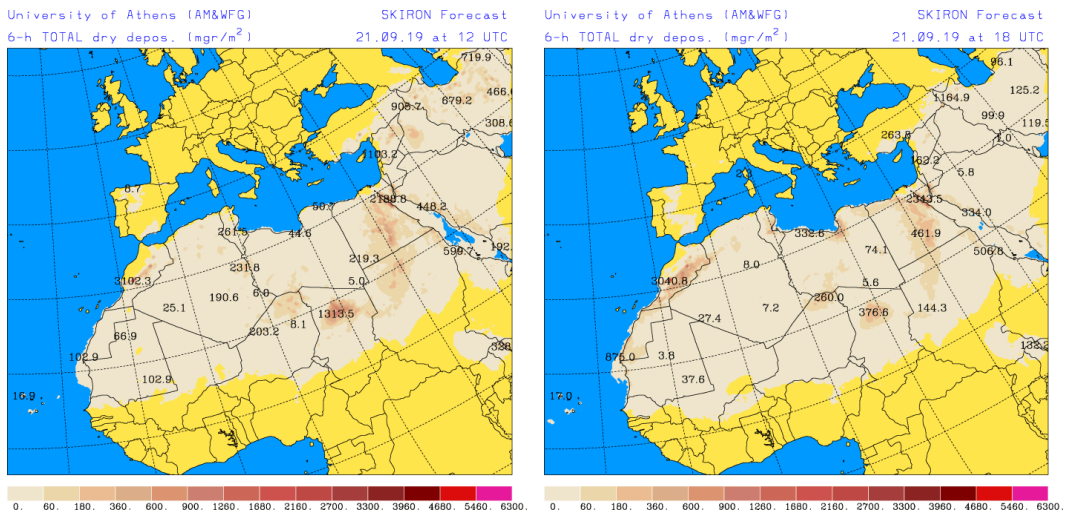
Carga total de polvo (mg/m^2) predicha por el modelo SKIRON para los días 21 (superior) y 22 (inferior) de septiembre de 2019 a las 00 UTC (izquierda) y a las 18 UTC (derecha). © Universidad de Atenas.



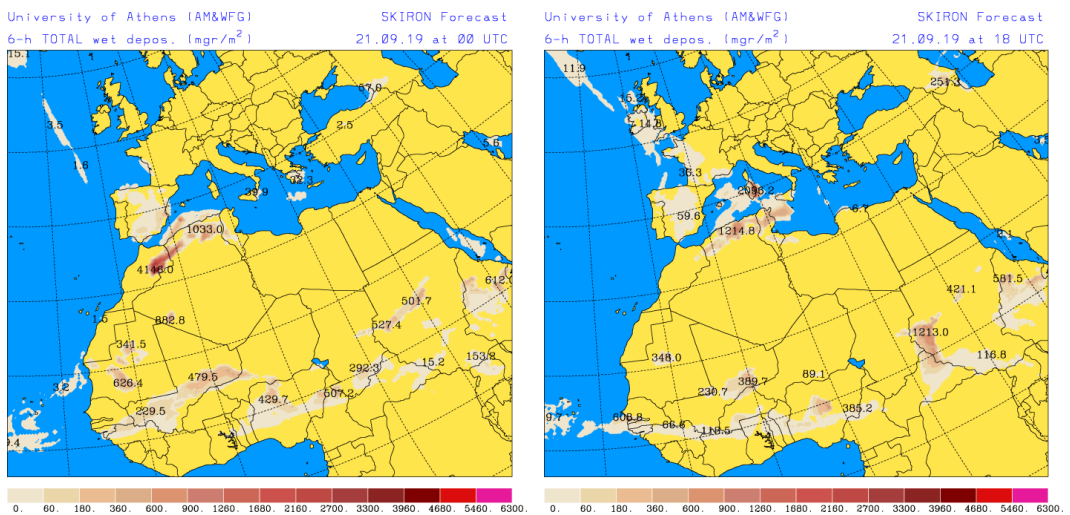
Precipitación acumulada (mm) y presión a nivel del mar (hPa) (izquierda) y campo de temperaturas ($^{\circ}\text{C}$) y de altura geopotencial a 850 hPa (derecha) previsto por el modelo SKIRON para el día 21 de septiembre de 2019 a las 12 UTC. © Universidad de Atenas.



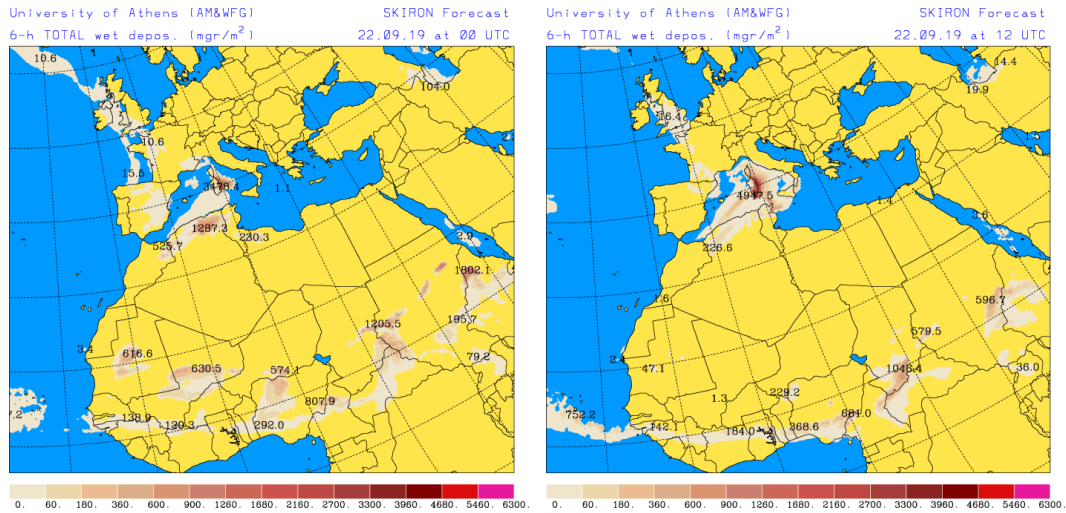
Precipitación acumulada (mm) y presión a nivel del mar (hPa) (izquierda) y campo de temperaturas (°C) y de altura geopotencial a 850 hPa (derecha) previsto por el modelo SKIRON para el día 22 de septiembre de 2019 a las 12 UTC. © Universidad de Atenas.



Depósito seco de polvo (mg/m^2) predicho por el modelo SKIRON para el día 21 de septiembre de 2019 a las 12 UTC (izquierda) y a las 18 UTC (derecha). © Universidad de Atenas



Depósito húmedo de polvo (mg/m^2) predicho por el modelo SKIRON para el día 21 de septiembre de 2019 a las 00 UTC (izquierda) y a las 18 UTC (derecha). © Universidad de Atenas



Depósito húmedo de polvo (mg/m^2) predicho por el modelo SKIRON para el día 22 de septiembre de 2019 a las 00 UTC (izquierda) y a las 12 UTC (derecha). © Universidad de Atenas

Fecha de elaboración de la predicción: 20 de septiembre de 2019

Predicción elaborada por Pedro Salvador (CIEMAT)

Los datos son propiedad de la Dirección General de Calidad y Evaluación Ambiental, del Ministerio para la Transición Ecológica, y han sido obtenidos y se suministran en el marco del “Encargo del Ministerio para la Transición Ecológica a la Agencia Estatal Consejo Superior de Investigaciones Científicas para la detección de episodios naturales de aportes transfronterizos de partículas y otras fuentes de contaminación de material particulado, y de formación de ozono troposférico”.